# RESULTADOS DA UTILIZAÇÃO DA TECNOLOGIA DE SENSORIAMENTO REMOTO E GEOPROCESSAMENTO NO ZONEAMENTO GEOAMBIENTAL

## Tomoyuki Ohara

INPE - Instituto Nacional de Pesquisas Espaciais
Caixa Postal 515, 12.201-970, São José dos Campos, SP, Brasil
Telefone: (012) 345-6440 - Fax: (012) 345-6460 ou 345-6449
E-mail: ohara@ltid.inpe.br

### Juércio Tavares de Mattos

FEG/UNESP - Faculdade de Engenharia de Guaratinguetá Av. Dr. Ariberto Pereira da Cunha, 333, 12.500-000, Guaratinguetá, SP, Brasil

### Jairo Roberto Jiménez Rueda

IGCE/UNESP - Instituto de Geociências e Ciências Exatas Caixa Postal 178, 13.506-900, Rio Claro, SP, Brasil

#### ABSTRACT

This paper presents the principal results of the integrated analysis of homogeneous photogeologic zones of spatials attributes of orbital remote sensing data, with the principals characteristics of the physical environment (Geology, Geomorphology and Soils). Furthermore were considered the data from soils and rock laboratory analysis (physical and chemical) of material collected along weathering profiles, as well as edaphoclimatic informations and morphostructural anomalies. The geoenvironmental zones presents the technical evaluations of water resources, evaluations of land use, regional planning, environmental issues, etc.

# INTRODUÇÃO

Este artigo apresenta os resultados da avaliação integrada de dados do meio físico, através do zoneamento geoambiental de uma área de aproximadamente 9.000 km², abrangendo partes da serra da Mantiqueira e da serra do Mar, incluindo a região litorânea setentrional paulista e a bacia do alto-médio rio Paraíba do Sul, na região leste do estado de São Paulo.

A finalidade desse estudo foi apresentar o mapa de zonas e subzonas geoambientais, o qual fornece importantes informações do meio físico no subsídio para a definição e prioridades em algumas aplicações para a geologia de planejamento ambiental.

A incorporação do estudo e a caracterização de unidades e coberturas de alteração intempérica, é justificável pela presença de consideráveis espessuras de material alterado, através do conhecimento das características física, química e pedogenéticas dos seus horizontes constituintes, inclusive o seu relacionamento com o meio físico.

### SISTEMÁTICA UTILIZADA

O mapa de zonas e subzonas geoambientais da região do alto-médio Paraíba do Sul (Ohara, 1995; 1996; 1997; Ohara et alii, 1996; 1997) foi o resultado da análise integrada de zonas fotogeológicas homogêneas de atributos espaciais em produtos de sensoriamento remoto orbital, com as principais características do meio físico, principalmente de fisiografias, litologias e solos, associados com as informações edafoclimáticas e morfoestruturais.

As zonas geoambientais são regiões delimitadas por rupturas de declive, geralmente associados aos limites litológicos e/ou geológicos e eventualmente a limites erosivos, e descontinuidades estruturais (discordâncias e falhamentos).

As zonas geoambientais foram subdivididas em função de algumas variáveis, que condicionam a configuração dasa formas de relevo e seus respectivos graus de alteração intempéricos.

As variáveis consideradas foram os tipos de paisagens ou unidades fisiográficas, o grau de dissecação, diferenças edafoclimáticas, anomalias morfoestruturais e morfometria.

As zonas geoambientais foram caracterizadas em função de processos específicos de alteração intempérica ou do tipo de colóide intempérico predominante (paragênese do colóide).

Esse mapa de zonas e subzonas geoambientais apresenta as potencialidades e o suporte do meio físico, em função dos condicionadores naturais e dos modificadores sócioeconômicos regionais.

### **RESULTADOS**

O mapa de zonas e subzonas geoambientais apresenta-se com oito zonas e quarenta e sete subzonas geoambientais intimamente relacionadas com as características do meio físico (Fig. 1 e Tabela I), em cuja análise foi possível fazer-se as seguintes considerações:

- a) o processo de latossolização é dominante nas regiões fisiográficas representadas por planaltos desde muito alto, alto, até o médio;
- b) nas regiões fisiográficas de planaltos baixo e muito baixo, o processo de podzolização é dominante, com localizadas áreas de latossolização, como na subzona granitóides migmatíticos (SGTM);
- c) nas regiões geográficas do Vale do Paraíba e Costeira não ocorre o processo de latossolização, tendo-se a predominância do processo de podzolização com localizada cambissolização na subzona granitos gnáissicos finos (SGTX);
- d) a única representação do processo de cambissolização ocorreu na subzona granitos gnáissico finos (SGTX), a qual foi delimitada na região geográfica Costeira, região essa representada por planalto muito baixo, fortemente dissecado e com feições texturais/estruturais de escarpas festonadas;
- e) as regiões geográficas da Serra da Mantiqueira e do Paraitinga-Paraibuna são dominadas pelos edafoclimas údico e perúdico, caracterizadas pelos tipos

climáticos muito úmido e superúmido, com a permanência mais constante da substância água nos solos, favorecendo dessa forma o processo de alteração intempérica durante a maior parte do ano.

Na região da Serra da Mantiqueira tem-se também a influência do edafoclima ústico, principalmente nas áreas de planalto baixo, onde a estiagem de inverno se faz presente, favorecendo a deficiência hídrica nos solos da região, como pode ser atestado pela presença de Cambissolos latossolizados em região com morfoestruturas negativas e positivas e, com litologias de biotita gnaisses e xistos. Outros solos classificados com esse edafoclima ústico foram: Podzólico Vermelho Escuro e Latossolo Vermelho Amarelo;

- f) a região do Vale do Paraíba é essencialmente caracterizado pelos edafoclimas ústico e áquico, favorecendo a formação de Cambissolos, Latossolos Vermelho Escuro e Podzólico Vermelho Escuro, provenientes da decomposição de sedimentos flúvio-lacustres, e caracterizando unidades mono a bissialíticas;
- g) na região intermediária entre a cidade de Natividade da Serra e a rodovia Osvaldo Cruz (SP-125), a subzona granitóides migmatíticos apresenta-se com uma "discordância geopedológica", devido à presença de falhamento normal orientado para norte-noroeste, individualizando subzonas distintas em sua porção oriental (SGTM1) e na porção ocidental (SGTM4).

Fazendo-se uma análise integrada, nessa região, das informações fisiográficas, geopedológicas, morfoestruturais e, de unidades e coberturas de alteração intempéricas, verificou-se que o bloco oriental sofreu um abatimento relativo com mergulho aparente para norte-noroeste, atestado pela presença de baixo estrutural na extremidade ocidental da subzona SGTM1.

Essa região do bloco oriental encontra-se representada por uma cobertura latossólica, à semelhança da zona geoambiental ectinitos síltico argilosos (ZGEC), existente mais ao sul.

No entanto, as unidades geopedológicas são diferenciadas, sendo que a subzona SGTM1 é representada por Cambissolo latossolizado e a zona ZGEC por Latossolo Vermelho Amarelo em região de alto estrutural. Essa situação sugere uma retomada pós-falhamento, no processo geopedogenético regional dos latossolos outrora existentes;

h) caso semelhante ocorreu na região entre a cidade de Paraibuna e a represa do Paraitinga-Paraibuna, onde também foi identificado um falhamento normal orientado para norte-noroeste, com o bloco ocidental (subzona SGTM3) abatido em relação ao bloco oriental (subzona SGTM4) e, com mergulho aparente para sul-sudoeste, sentido inverso do caso anterior.

As linhas de formas não-cotadas do bloco ocidental apresentam-se conformando diversas morfoestruturas negativas fechadas e parcialmente fechadas, as quais indicam um ambiente redutor e uma hidrólise parcial, atestados pela presença de Cambissolo latossolizado e Podzólicos Vermelho Amarelo.

Fato interessante é a associação inversa das coberturas de alteração intempéricas com esses solos, visto que o Cambissolo latossolizado foi classificado como uma cobertura latossólica e com unidade de alteração

intempérica alítica, enquanto que o Podzólico Vermelho Amarelo/Escuro foi classificado como cobertura podzólica-cambissólica e com unidade de alteração intempérica bissialítica, sugerindo também uma retomada pós-falhamento, no processo geopedogenético dos latossolos outrora existentes;

i) o bloco central, se relacionado com os dois blocos abatidos nas suas extremidades, estruturalmente é um bloco elevado, representado por morfoestruturas positivas alongadas no rumo grosseiramente leste-oeste.

As linhas de formas não-cotadas desse bloco elevado assinalam a superposição de um outro evento com esforços compressivos ortogonais às morfoestruturas positivas, indicando um redobramento no sentido norte-sul.

Nesse bloco elevado e morfoestruturalmente positivo fica provado o processo de latossolização generalizada, com ocorrência localizada do processo de laterização, principalmente nos locais de altos estruturais e altos topográficos. Nessas regiões ocorrem intensos processos de lixiviação dos elementos alcalinos e alcalinos terrosos, os quais favorecem a hidrólise total, com a consequente concentração das formas oxídicas dos elementos metálicos do perfil de alteração intempérica;

j) das quarenta e sete subzonas individualizadas na região do alto-médio Paraíba do Sul, vinte e duas subzonas (quase a metade) encontraram-se afetados por "trends" de fraturamentos, normalmente relacionados aos diversos sistemas de falhas cisalhantes existentes na área de estudo, os quais resultaram variados graus de intemperismo e, freqüentemente formas de relevo mais antigas e dissecadas.

Abaixo é mostrada a relação das subzonas com os "trends" de fraturamentos; as relações com outras informações temáticas, tais como de fisiografia, de litologia, de solos geopedológicos, de unidades e coberturas de alteração intempéricas e de anomalias morfoestruturais, encontram-se resumidas na Tabela I.

Na região geográfica da Serra da Mantiqueira sete subzonas de três zonas geoambientais foram afetadas por "trends' de fraturas:

- 1. subzona SMGG1 com os "trends" da falha do Ribeirão da Serra e da falha Jundiuvira;
- 2. as falhas de Piedade e do Buguira afetaram as subzonas SMGG2 e ZGXG3:
- 3. subzona ZGXG2 foi afetada pela falha Jundiuvira e por outras estruturas geológicas sem identificações e, no geral, orientadas ao redor da direção lesteoeste:
- 4. outras estruturas geológicas sem identificações orientadas próximas de leste-oeste, também afetararm as subzonas SMGH2 e SMGT;
- 5. por fim, a subzona denominada SGND1 foi afetada pela falha do Paiol e por outras estruturas geológicas, também orientadas ao redor de leste-oeste.

Na região geográfica do Paraitinga-Paraibuna foram identificados quinze subzonas afetadas por diversos "trends" de fraturamentos, as quais são relacionadas a cinco diferentes zonas geoambientais e, abaixo relacionadas:

- 1. a subzona SGNQ está relacionada com a falha do Indaiá:
- 2. a falha de Natividade da Serra afetou as subzonas SGTD1, SGTD2, ZGEC;

- 3. a falha de Naitividade da Serra em conjunto com a falha de Cubatão afetou a subzona SGTM4;
- 4. as subzonas SGNG1, SGTM1, SGTM3 estão relacionadas com as falhas de Taxaquara e de Cubatão;
- 5. as falhas Serra do Jambeiro e do Rio Comprido afetaram a subzona SGNZ2;
- **6.** as subzonas SGNG2 e SMGX encontram-se relacionadas com a falha de Quebra Cangalha;
- 7. e, por fim as falhas do Alto da Fartura e de Santa Rita afetaram as subzonas SGNB1, SBNF, SGNZ1 e SBGF2.
- **k)** As zonas e subzonas geoambientais, como foram determinadas, ou seja, por meio de uma avaliação integrada de unidades e coberturas de alteração intempéricas, com outras informações do meio físico, tais como edafoclimáticas, de fisiografias, litologias, solos geopedológicos e morfoestruturais, fornecem importantes subsídios para a definição e prioridades para diversas aplicações:
- 1. obras de engenharia, tais como implantação de rodovias e grandes edificações são recomendadas em zonas/subzonas com predominância de morfoestruturas positivas e, moderadamente indicadas em áreas com alto e baixos estruturais. Dessa forma as subzonas mais indicadas são SSDL2 e SSDL3, em função da intensa expansão urbana e industrial existente na região do Vale do Paraíba;
- 2. estudos de recursos hídricos subterrâneos são indicados em áreas com morfoestruturas negativas, onde a circulação d'água é alta e direcionada. Na região do Vale do Paraíba a área mais indicada para estudos para obtenção de recursos hídrico subterrâneos é a região entre as cidades de Pindamonhangaba e Roseira, onde foi detectada uma ampla morfoestrutura negativa, nas subzonas SSDL3 e SSDF;
- <u>3. uso agrícola direcionado</u> deve estar relacionado com a alta e média fertilidade atual e potencial, tais como nas áreas com baixo estrutural, como é o caso, também da região entre as cidades de Pindamonhangaba e Roseira, como atestado pela presença nessa região de área-piloto da Secretaria da Agricultura do Estado de São Paulo;
- <u>4. planejamento territorial urbano</u> é adequado em áreas com altos estruturais e altos topográficos, como é o caso das regiões de São José dos Campos (córrego Campestre-Vista Verde), entre Caçapava e Quiririm, Tremembé-Taubaté, nordeste de Pindamonhangaba e noroeste de Guaratinguetá, nas subzonas SSDL3 e SSDL2:
- <u>5. proteção ambiental</u> deve estar relacionado com as cabeceiras de bacias hidrográficas, correspondendo normalmente a altos topográficos, como é o caso das serras do Jambeiro (região entre as subzonas SGTP2 e SGNZ2) e do Palmital (região entre as subzonas SMGG1 e ZGXG3), respectivamente ao sul e norte das cidades de São José dos Campos, Caçapava e Taubaté;
- 6. aterros sanitários para efluentes líquidos e sólidos devem ser indicados em áreas com baixo estrutural e alto topográfico, onde a circulação de líquidos é baixa e direcionada e a percolação é mediana, apesar do grande potencial de erosão da área. Na região de São José dos Campos a área mais indicada situa-

se a cerca de 2 a 3 quilômetros ao sul da Granja Itambi, mais especificamente entre o lago da Maranata e a fazenda Capuava.

Evidentemente, para a implantação de qualquer dessas aplicações nas áreas aqui mencionadas, deve ser executado outros trabalhos com maiores detalhes e direcionados para cada atividade de interesse, inclusive com o envolvimento de outras técnicas afins, tais como trabalhos de sondagens geofísicas para o conhecimento, por exemplo da espessura do manto de alteração, nível freático, dentre outras.

### **CONCLUSÕES**

Os produtos e a tecnologia de sensoriamento remoto mostraram-se tecnicamente viáveis, para o estudo do zoneamento geoambiental em escala regional, relacionado com as informações, obtidas com esses produtos, de temas afins, principalmente de fisiografias, litologias, geopedológicas, de unidades e coberturas de alteração intempérica e de anomalias morfoestruturais.

A sistemática metodológica executada mostrou-se bem planejada, com suas atividades interrelacionadas e, dependentes de uma perfeita discriminação e definição das zonas fotogeológicas homogêneas, obtida pelo estudo integrado dos atributos espaciais de produtos de sensoriamento remoto orbital, por meio da análise do arranjo textural de elementos de relevo e drenagem.

Essa interrelação das atividades foi bastante interessante, visto que os resultados parciais obtidos nas diversas fases da sistemática, foram integradas com razoável facilidade, tanto para a obtenção do mapa de unidades e coberturas de alteração intempérica, como do mapa de zonas e subzonas geoambientais da região do alto-médio Paraíba do Sul.

A delimitação e cartografia de unidades e coberturas de alteração intempérica com o uso de sensoriamento remoto orbital, como realizado na região do altomédio Paraíba do Sul, é um fato inédito e, em funcão dessa premissa, possível a modificações e/ou mesmo a erros.

O zoneamento geoambiental do meio físico obtido com sensoriamento remoto orbital pode mostrar-se bastante adequado para os diversos planejadores, com a exposição de subsídios técnicos para a definição e prioridades para estudos de obras de engenharia, de recursos hídricos, uso agrícola direcionado, planejamento territorial, proteção ambiental, dentre outras aplicações relacionadas com o meio físico.

### REFERÊNCIAS BIBLIOGRÁFICAS

CAMARGO, M.N.; KLANT, E.; KAUFFMAN, J.H. Sistema brasileiro de classificação de solos. Soc. Bras. Ciê. Solo, Campinas, 12(1): 11-33. (Separata do Bol. Inf.). 1987.

JIMÉNEZ-RUEDA, J.R.; MATTOS, J.T. de; MALAGUTTI FILHO, W. Estudos integrados para controlar os impactos ambientais de um sistema de irrigofertilização com vinhoto na região centro-leste do estado de São Paulo. In:

Simpósio Latino-Americano de Percepción Remota, IV., San Carlos de Bariloche, Argentina, 1989. Anais. São José dos Campos, INPE/SELPER, tomo I, p.459-465. 1989.

JIMÉNEZ-RUEDA, J.R.; NUNES, E.; MATTOS, J.T. de Caracterização fisiográfica e morfoestrutural da folha São José de Mipibu - RN. Geociências, São Paulo, 12(2): 481-491. 1993.

MATTOS, J.T. de; JIMÉNEZ-RUEDA, J.R. Estudos das correlações entre respostas espectrais e os índices de alteração intempéricas dos maciços rochosos (cristalino) numa região do litoral paulista. In: Simpósio Brasileiro de Sensoriamento Remoto, VI., Manaus, 1990. (Trabalho apresentado).

OHARA, T. Zoneamento geoambiental da região do alto-médio Paraíba do Sul (SP) com sensoriamento remoto. Rio Claro, UNESP, IGCE, 235 p. (Tese de Doutorado). 1995.

OHARA, T. Abordagem metodológica no estudo do zoneamento geoambiental da região do alto-médio Paraíba do Sul, com produtos de sensoriamento remoto orbital. In: Congresso Brasileiro de Geologia, XXXIX., Salvador, setembro de 1996. Anais. Vol. 7 - Simpósios e Conferências (Sistema de Informações Georreferenciadas e Processamento Digital de Imagens de Sensoriamento Remoto), p. 90-93. 1996.

OHARA, T.; JIMÉNEZ-RUEDA, J.R.; MATTOS, J.T. de Resultados da análise integrada do meio físico com imagens TM/Landsat na região do alto-médio Paraíba do Sul. In: Congresso Brasileiro de Geologia, XXXIX., Salvador, setembro de 1996. Anais. Salvador, SBG, v. 4, p. 88-91. 1996.

OHARA, T.; MATTOS, J.T. de; JIMÉNEZ-RUEDA, J.R. Utilização da tecnologia de sensoriamento remoto no estudo geoambiental do meio físico em região com fisiografias de planaltos e planícies. In: Simpósio Brasileiro de Geografia Física Aplicada, VII./Fórum Latino-Americano de Geografia Física Aplicada, I., Curitiba, 1997. (trabalho aceito para apresentação).

SOIL TAXONOMY. A basic system of soil classification of making and interpreting soil surveys. USDA. handbook, 436. 754 p. 1975.

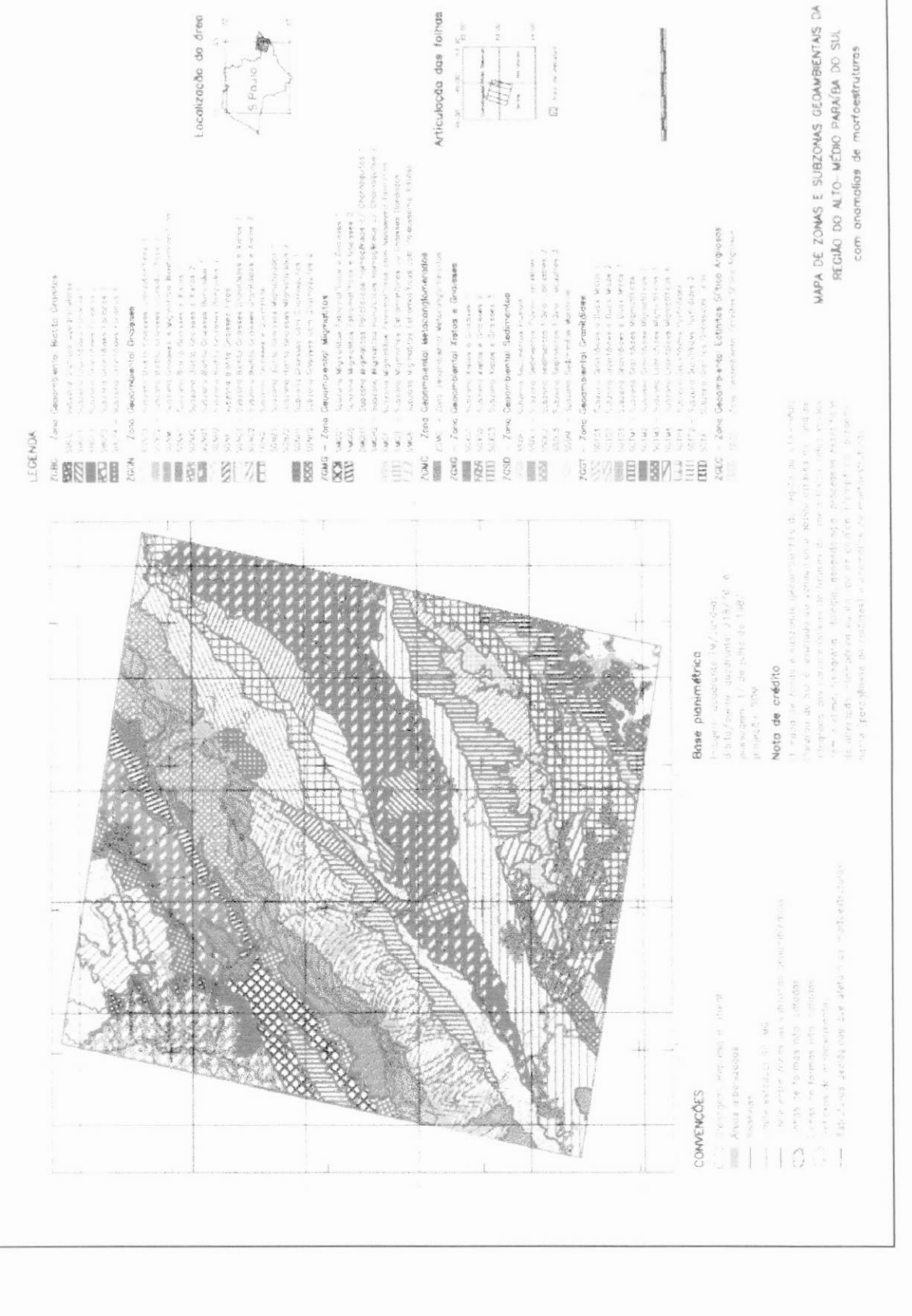


TABELA I RELAÇÃO DAS ZONAS E SUBZONAS GEOAMBIENTAIS COM AS UNIDADES LITOLÓGICAS (lito), GEOPEDOLÓGICAS (geopedo), DE FISIOGRAFIAS (fisio), DE ATTEDA CÂD COMBIENTIDAS GOAD INTEMPÉRICAS PARACÍNESE E ANOMA HAS DE MORROESTRUTIRAS (morfo).

ZOBG         SUBGE         RSM         gree           ZOBG         BRGF1         RPP         gree           SBGF2         SBGF3         gree         gree           SBGF4         SBGF4         gree         gree           SBGF4         SBGF4         gree         gree           SBGF4         SBGF4         gree         gree           SGND2         SGNM         bgn         bgn           SGNWI         SGNWI         bgr         bgr           SGNWI         SGNWI         bgn         bgn           SMGGI         RSM         met         sMG           SMGH         SMGH         met         sm           SMG         SMGH         met         sm           SMG         SMGH         sgn         sgn           ZGNG         ZGNG3         sgn         sgn	LVaud2	us)		baixo colinal colinal colino colinal colito colito colito colito colito	Can Latos-Podz. Latos-Podz-Camb	Mono-Bi	Paragenese Caul-Gibb Caul	UBSELY AÇUES
SBGE         RSM           SBGF1         RPP           SBGF2         SBGF3           SBGF3         SBGF4           SGND1         RSM           SGND2         SGNS           SGNX2         SGNS           SGNS         SGNS           SGNS         SGNS           SGNG1         SGNS           SGNS         SGNG           SGNG1         SGNG           SGNG1         SGNG           SGNG1         SGNG           SGNG1         SGNG           SGNG1         SGNG           SGNG1         SGNG           SMG01         SMG           SMG1         SMG           SMG1         SMG           SMG1         SMG           SMG1         SMG           SMG1         SMG           SMG1         SMG           SMG3         SMG           SSDF         RVP           SSDL1         SSDL1				baixo celinal o-alto baixo o-alto baixo o-alto	.atos-Podz.camb	Mono-Ali Mono Mono-Bi	Caul-Gibb	Processor Services of Seath Selection
SBGF1         RPP           SBGF2         SBGF3           SBGF4         SBGF4           SGND1         RSM           SGND2         SGNM           SGNS         SGNS           SGNS         SGNS           SGNS         SGNS           SGNS         SGNS           SGNG         SGNS           SGNS         SGNS           SGNS         SGNS           SGNS         SGNS           SGNS         SGNS           SGNS         SGNS           SMGG1         RSM           SMGT         SMGT           SM				baixo oclinal o-alto o-alto baixo o-alto	atos-Podz-Camb	Mono-Bi	Caul	P. Constitution of Josephasian
SBGF2           SBGF3           SBGF4           SBGF4           SGND1           SGNM           SGNWI           SMGG1           SMGG2           SMGH1           SMGH2           SMGH2           SMGT           SMGG2           SMGG3           SMGG4           SMGG5           ZGXG3           ZGXG3           SSDL           SSDL1			(0)	oclinal o-alto o-alto baixo		Mono-Bi		W. Charles of State and Anti-
SBGF3           SBGF4           SBGF4           SGND1           SGND2           SGNXI           SGNXI           SGNXI           SGNXI           SGNXI           SGNXI           SGNS           SGNG1           SGNG1           SGNG2           SGNG1           SGNG1           SGNG2           SGNG1           SGNG1           SGNG2           SMGG1           SMGG1           SMGG2           SMGG1           SMGG2           SMGG3           SMGG4           SMGG4           SMGG3           SMGG4           SMGG5           ZGXG3           SSDL           SSDL1			(Q)	oclinal o-alto o-alto o-alto		Mono-Bi		Pequena area proxima a Jampeiro
SBGF4         RSM           SGND1         RSM           SGND2         SGND2           SGNXI         SGNXI           SGNXI         SGNXI           SGNSB1         RPP           SGNSB1         RPP           SGNSB1         SGNB1           SGNG1         SGNG1           SGNG2         SGNG1           SGNG1         SGNG1           SGNG2         SGNH1           SMGG1         SMGG1           SMGG1         SMGG1           SMGG2         SMGG1           SMGG1         SMGG1           SMGG2         SMGG3           SMGG3         SMGG3           SMGG3         SSDL1           SSDL1         SSDL1			(a)	ocalinal o-alto o-alto baixo		Mono-Bi		Area próxima a Redenção da Serra
SGND1         RSM           SGND2         SGND2           SGNX1         SGNX2           SGNX2         SGNS           SGNS         SGNB1           SGNB2         SGNB2           SGNG1         SGNG1           SGNG2         SGNG1           SGNG1         SGNG2           SGNG1         SGNH1           SGNH1         RC           SGNH1         RC           SGNH1         SGNH1           SMGG1         SMGH2           SMGH1         SMGH2           SMGH2         SMGH2           SMGH2         SMGH2           SMGH2         SMGH2           SMGG3         SMGG3           SSDC         ZGXG3           SSDL1         SSDL1           SSDL2         SSDL2			(0)	oclinal o-alto o-alto baixo o-alto	Podz-Camb-Latos		Caul-Mont	Granito Aparecida
SGND2           SGNX1           SGNX2           SGNX2           SGNS1           SGNB1           SGNB2           SGNB2           SGNG1           SGNG1           SGNG2           SGNG1           SGNG1           SGNG2           SGNG1           SGNG1           SGNG1           SMGG1           SMGG1           SMGG1           SMGG1           SMGG1           SMGG2           SMGG1           SMGG2           SMGG3           SMG3           SMG3           SMG3           SMG3           SMG4           SMG4           SMG4           SMG3           SSD1           SSD1           SSD1			(0)	o-alto o-alto o-alto baixo o-alto	Latos-Podz	Ali-Mono	Gibb-Caul	PaFdo entre as serras da Coimbra e da Água Santa - Falha do Paiol Grande
SGNM           SGNX1           SGNX2           SGNB1         RPP           SGNB2         SGNB2           SGNG1         SGNG1           SGNG2         SGNG2           SGNG2         SGNG1           SGNG1         SGNG1           SGNG1         SGNG1           SMGG1         SMGG1           SMGG1         SMGG1           SMGH1         SMGH2           SMGH2         SMGH2           SMGH2         SMGH2           SMGG1         SMGH2           SMGG3         SMGG3           SMGG3         SSDC           ZGXG3         SSDL1           SSDL1         SSDL2			<u> </u>	o-alto o-alto o-alto o-alto	Podz-Camb	Bi	Mont	Com textura fina
SGNXI           SGNXZ           SGNB1           SGNB2           SGNB2           SGNB1           SGNB2           SGNB2           SGNG2           SGNZ1           SGNZ1           SGNZ1           SGNZ1           SGNZ1           SGNB2           SMG1           SMG41           SMG42           SMG41           SMG42           SMG42           SMG43           SMG44           SMG45           SMG46           SMG47           SMG48           SMG49           SMG40           SGXG1           ZGXG2           ZGXG3           SSDF           SSDL1           SSDL2				o-alto baixo o-alto	Latos-Podz-Camb	Mono	Caul	
SGNXZ         SGNXZ           SGNB1         RPP           SGNB2         SGNB2           SGNB2         SGNG1           SGNG2         SGNZ1           SGNZ1         SGNZ1           SGNZ1         SGNB2           SGNH1         RC           SGNH2         SGNH2           SMGG1         RSM           SMGH1         SMGH2           SMGH2         SMGH2           SMGH2         SMGH2           SMGT         SMGT           SMGT         SMGT           ZGXG1         ZGXG2           ZGXG3         SSDF           SSDL1         SSDL1           SSDL2         SSDL2			(0)					Com textura fina
SGNB1         RPP           SGNB2         SGNB2           SGNB2         SGNG1           SGNG2         SGNG2           SGNZ1         SGNZ1           SGNZ2         SGNH1           SGNH2         SMGG1           SMGG1         RSM           SMGG2         SMGH1           SMGH1         SMGH2           SMGH2         SMGH2           SMGT         SMGT           SMGT         SMGT           SMGT         SMGT           SMGT         SSM           ZGXG2         ZGXG3           SSDF         RVP           SSDL1         SSDL1           SSDL2         SSDL2			(0)		Podz-Camb-Latos	Mono-Bi	Caul-Mont	Com textura fina
SGNB2           SGNF           SGNG1           SGNG2           SGNZ1           SGNZ1           SGNZ1           SGNZ1           SGNH1           SGNH1           SGNH2           SMGG1           SMGH1           SMGH2           SMGH2           SMGH2           SMGH2           SMGH2           SMGH2           SMGT           SMGT           SMGT           SMGT           SMGT           SMGT           SMGT           SMGT           SMGT           SSDF           SSDF           SSDL1           SSDL2			(9)		Latos-Podz-Camb	Mono	Caul	PmFdo próx. rio Paraitinga e extrem. SW - Falha Alto da Fartura - "Mar de Morros"
SGNF           SGNG1           SGNG2           SGNG2           SGNZ1           SGNZ1           SGNZ1           SGNZ1           SGNZ1           SGNH1         RC           SMGG1         RSM           SMGG1         SMGH1           SMGH1         SMGH2           SMGH2         SMGH2           SMGH2         SMGH2           SMGH2         SMGH2           SMGH2         SMGH2           SMGT         SMGT           SMGT         SSM           ZGXG2         ZGXG3           SSDL1         SSDL1           SSDL2         SSDL2			(0)	ī	Podz-Camb-Latos	Mono-Bi	Caul-Mont	"Mar de Morros" - região de Aparecida
SGNG1   SGNG2   SGNG2   SGNG2   SGNZ1   SGNZ2   SGNM1   RC   SGNM1   SMGG1   SMGH1   SMGH1   SMGH2   SGNGH2   SGNGH2   SGNGH2   SSDL1   SSDL2   SGNGH2   SSDL2   SGNGH2   SSDL2   SGNGH2   SSDL2   SGNGH2   SSDL2   SSDL2   SGNGH2   S			(9)					Falha Alto da Fartura
SGNG2           SGNQ1           SGNZ1           SGNZ1           SGNZ1           SGNZ1           SGNH1           SGNH2           SMGG1           SMGG2           SMGH1           SMGH2           SMGH2           SMGH           SMGT           SMGB           RSM           ZGXG2           ZGXG3           SSDF           SSDL1           SSDL1           SSDL2			(o)	1-2	Latos-Podz	Ali-Mono	Gibb-Caul	Pbmdo c/ formas arrasadas e < amplitude a SW de Redenção - Falha Taxaquara/Cubatão
SGNQ           SGNZ1           SGNZ1           SGNZ1           SGNZ1           SGNH1           SMG1           SMG2           SMGH1           SMGH2           SMGH2           SMGH2           SMGH2           SMGT           SMGS           ZGXG1           ZGXG2           ZGXG3           SSDF           SSDL1           SSDL2	11'11'1		(0)		Latos-Podz-Camb	Mono	Caul	Falha do Quebra Cangalha
SGNZ2   SGNM1   RC	11111		(0)		Podz-Camb-Latos	Mono-Bi	Caul-Mont	PmFdn de NW de Ubatuba até a serra do Indaia - Falha do Indaia
SGNZ2   SGNN21   RC   SGNN22   SGNH1   RSM   SMGG1   RSM   SMGH1   SMGH1   SMGH2   SMGH   SMGH2   SMGT   SMGH   SMGT   SMGT   SMGT   SMGT   SMGT   SMGT   SGNG2   ZGXG3   ZGXG3   SSDF   RVP   SSDL1   SSDL2   SSDL2			(o)	oclinal				Falha Alto da Fartura - serra do Quebra Cangalha
SQUNLI   RC	Pyaudi Pyeud Pyeudz Pyaud+C		(0)	Ť	Podz-Camh	B.	Mont	Falha Serra do Jambeiro - serra do Jambeiro
SGUNH1   WC.	PVehud PVeud2 PVaud+C				Jode Camb Later	Mone Di	Con Mont	THE PERSON OF TH
SMGG2   RSM	PVelud PVeud2 PVaud+C		Γ	alto-batxo	Podz-Camb-Latos	Mono-Bi	Caul-Mont	
SMGGZ         KADRI           SMGHI         SMGHI           SMG B         RPP           SMG B         RPP           SMG C         SMG C           SMG C         SMG C           ZOXG I         RSM           ZOXG Z         ZOXG Z           ZOXG Z         ZOXG Z           SSDF         RVP           SSDL I         SSDL Z           SSDL Z         SSDL Z	PVeud2 PVaud+C			C,				Sul da serra do Palmital: formas escarpadas baixas - Falha do Ribeirão da Serra
SMGH1     SMGH2     SMG	PVaud+C		I No	o-alto	Podz-Camb	.ig	Mont	Idem para áreas estreitas e alongadas a NE de Pinda - Falha de Piedade e do Buquira
SMGH1 SMGH2 SMGT SMGB SMGX SMGX ZGXG1 ZGXG2 ZGXG3 SSDF SSDL1 SSDL2	PVaud+C		T	_	Out Court	1	23.4	Dark J
SMGT           SMGB         RPP           SMGX         RSM           ZGXG1         ZGXG2           ZGXG3         RVP           SSDF         RVP           SSDL1         SSDL2           SSDL2         SSDL2	-		op		Latos	Alı	GIDD	PIRFOO - regiao do Farque Estadual de Campos do Jordao
SMGB         RPP           SMGX         RSM           ZGXG1         RSM           ZGXG2         ZGXG3           SSDF         RVP           SSDL1         SSDL2           SSDL2         SSDL2	PVaud				Podz-Camb-Latos	Mono-Bi	Caul-Mont	
SMGX         RSM           ZGXG1         RSM           ZGXG2         ZGXG3           SSDF         RVP           SSDL1         SSDL2	PVaud2	PbFdn	lh					
RSM   ZGXG1   ZGXG2   ZGXG3   SSDF   RVP   SSDL1   SSDL2   S	Cud1	PaFdo		baixo				Falha de Santa Rita
ZGXG1   ZGXG2   ZGXG3   SSDF   RVP   SSDL1   SSDL2	CHbr	Pmafdn	idn alto		Latos-Podz-Camb	Mono	Caul	
ZGXG2   ZGXG3   SSDF   RVP   SSDL1   SSDL2	LVaud2	PaFdn	u,					
ZGXG3 SSDF RVP SSDL1 SSDL2	LVapr2	PmaFdo	op		Latos	Ali	Gibb	Falha Jundiuvira
SSDF RVP SSDL1 SSDL2	Clud3	Pbmdo		baixo-alto	Podz-Camb-Latos	Mono-Bi	Caul-Mont	Falha do Buquira
	HGHaq	pai						
SSDL2	Cus	pei						
	LVeus	T	alto	to				
SSDL3	PVeus1		la	alto-baixo				
SSDM RC	HPus	pal	ba	baixo				
RPP	PVapr	PaFdo		alto-baixo 1	Latos-Podz	Mono-Ali	Caul-Gibb	Falha de Natividade da Serra
	PVaud3	Pbfdo		baixo	Podz-Camb-Latos	Mono-Bi	Caul-Mont	SW de Paraibuna - Falha de Natividade da Serra
SGTD3	PValud	Pbfdn			Podz-Camb	Bi	Mont	Santa Branca
SGTMI	Clud2	Pamdo		baixo-alto 1	Latos	Ali	Gibb	
T		Pbfdn	T	_				SW de Paraibuna
SGTM3	PVa/eud	Pbmdo	lo	-	Podz-Camb	Bi	Mont	Paraibuna
SGTM4	LVaudl		alto		Latos-Podz-Camb	Мопо	Caul	Represa
SGTP1	PVeudl	Pmmdn	dn		Podz-Camb-Latos	Mono-Bi	Caul-Mont	PaFdo na região da serra Fria ou dos Forrós
SGTP2	PVaud(LVeus)	Veus) Pbmdn		alto-baixo				
SGTX RC ygf	Cpr	PmbFdc		baixo-alto (	Camb	Bi-Mono	Mont-Caul	
ZGEC RPP re	LVaprl	Pamdo	do alto		Latos	Ali	Gibb	Falha de Natividade da Serra